

Table 4.13 Measured Data of Propeller Open Characteristics of DTMB Propeller by Using H38 in Cavitation Tunnel

MPNo. 341; DTMB Prop. by H38
 $n=40 \text{ rps}$, $T_w=10^\circ \text{C}$
 $\alpha / \alpha_s = 0.32$

NON-CAV.				$\sigma_v = 1.0$			
J	Kt	10Kq	η_o	J	Kt	10Kq	η_o
0.385	0.272	0.454	0.367	0.543	0.120	0.205	0.506
0.437	0.254	0.435	0.406	0.592	0.133	0.229	0.547
0.488	0.237	0.416	0.442	0.643	0.138	0.241	0.586
0.539	0.219	0.396	0.474	0.693	0.142	0.253	0.619
0.590	0.199	0.374	0.500	0.743	0.138	0.256	0.637
0.641	0.181	0.354	0.522	0.774	0.129	0.248	0.641
0.692	0.164	0.328	0.551	0.795	0.122	0.242	0.638
0.744	0.145	0.306	0.561	0.845	0.102	0.219	0.626
0.775	0.133	0.292	0.562	0.897	0.078	0.193	0.577
0.795	0.125	0.282	0.561	0.947	0.053	0.162	0.493
0.846	0.105	0.259	0.546	0.999	0.025	0.128	0.311
0.896	0.083	0.233	0.508				
0.948	0.059	0.205	0.434				
0.998	0.035	0.176	0.316				

$\sigma_v = 0.6$				$\sigma_v = 0.5$			
J	Kt	10Kq	η_o	J	Kt	10Kq	η_o
0.546	0.093	0.198	0.408	0.694	0.120	0.210	0.631
0.664	0.114	0.197	0.612	0.745	0.123	0.224	0.651
0.694	0.133	0.234	0.628	0.774	0.120	0.224	0.660
0.745	0.133	0.242	0.652	0.795	0.114	0.217	0.665
0.775	0.120	0.228	0.649	0.845	0.096	0.197	0.655
0.795	0.107	0.212	0.639	0.897	0.071	0.165	0.614
0.897	0.074	0.176	0.600	0.948	0.043	0.126	0.515
0.947	0.048	0.141	0.513	1.000	0.004	0.062	0.103
1.000	0.009	0.081	0.177				

$\sigma_v = 0.4$			
J	Kt	10Kq	η_o
0.775	0.111	0.208	0.658
0.796	0.104	0.200	0.659
0.846	0.085	0.178	0.643
0.896	0.063	0.148	0.607
0.950	0.032	0.101	0.479
1.000	0.005	0.054	0.147

Table 4.14 Measured Data of Propeller Open Characteristics of SSPA Propeller by Using J26 in Cavitation Tunnel

MPNo. 345; SSPA Prop. by J26
 n=40 rps, Tw=11°C
 $\alpha / \alpha_s = 0.30$

NON-CAV.				$\sigma v=1.0$			
J	Kt	10Kq	η_o	J	Kt	10Kq	η_o
0.990	0.321	0.877	0.576	0.792	0.208	0.555	0.472
1.040	0.301	0.836	0.596	0.841	0.220	0.582	0.506
1.090	0.280	0.795	0.611	0.891	0.230	0.607	0.538
1.141	0.260	0.755	0.625	0.942	0.239	0.630	0.568
1.193	0.241	0.715	0.640	0.992	0.246	0.649	0.598
1.244	0.223	0.679	0.650	1.042	0.252	0.662	0.631
1.294	0.206	0.642	0.661	1.091	0.254	0.673	0.655
1.345	0.191	0.607	0.673	1.143	0.240	0.655	0.666
1.395	0.172	0.567	0.674	1.193	0.222	0.630	0.669
				1.244	0.209	0.613	0.675
				1.294	0.199	0.598	0.686
				1.345	0.188	0.577	0.697
				1.396	0.169	0.538	0.698
$\sigma v=0.6$				$\sigma v=0.5$			
J	Kt	10Kq	η_o	J	Kt	10Kq	η_o
0.793	0.175	0.471	0.469	0.793	0.170	0.461	0.465
0.843	0.176	0.475	0.497	0.843	0.171	0.466	0.492
0.893	0.177	0.480	0.524	0.893	0.171	0.469	0.518
0.943	0.183	0.495	0.555	0.944	0.171	0.471	0.545
0.993	0.193	0.518	0.589	0.994	0.172	0.477	0.570
1.043	0.200	0.534	0.622	1.044	0.181	0.496	0.606
1.093	0.207	0.551	0.654	1.094	0.188	0.509	0.643
1.143	0.210	0.561	0.681	1.144	0.193	0.518	0.678
1.194	0.206	0.560	0.699	1.194	0.195	0.530	0.699
1.245	0.185	0.529	0.693	1.244	0.178	0.504	0.699
1.295	0.180	0.532	0.697	1.295	0.172	0.502	0.706
1.345	0.183	0.545	0.719	1.346	0.182	0.534	0.730
1.396	0.165	0.510	0.719	1.395	0.168	0.507	0.736
$\sigma v=0.4$							
J	Kt	10Kq	η_o				
0.793	0.167	0.453	0.465				
0.842	0.167	0.456	0.491				
0.894	0.166	0.456	0.518				
0.944	0.166	0.456	0.547				
0.994	0.164	0.453	0.573				
1.044	0.163	0.454	0.597				
1.094	0.167	0.461	0.631				
1.145	0.173	0.476	0.662				
1.195	0.176	0.488	0.686				
1.245	0.170	0.484	0.696				
1.295	0.161	0.469	0.708				
1.345	0.175	0.511	0.733				
1.396	0.157	0.473	0.737				

Table 4.15 Measured Data of Propeller Open Characteristics of SSPA Propeller by Using H38 in Cavitation Tunnel

MPNo. 345; SSPA Prop. by H38
 n=40rps, Tw=10°C
 $\alpha / \alpha_s = 0.28$

NON-CAV.				$\sigma v=1.0$			
J	Kt	10Kq	η_o	J	Kt	10Kq	η_o
0.990	0.326	0.886	0.580	0.792	0.210	0.558	0.475
1.040	0.303	0.841	0.597	0.841	0.221	0.587	0.504
1.090	0.281	0.798	0.611	0.890	0.230	0.609	0.535
1.141	0.259	0.755	0.623	0.942	0.238	0.630	0.566
1.194	0.237	0.712	0.633	0.993	0.246	0.647	0.601
1.245	0.218	0.675	0.640	1.042	0.252	0.665	0.628
1.295	0.201	0.636	0.652	1.092	0.254	0.675	0.654
1.346	0.182	0.596	0.654	1.143	0.233	0.648	0.654
1.396	0.162	0.552	0.652	1.195	0.216	0.624	0.658
				1.244	0.201	0.604	0.659
				1.297	0.188	0.586	0.662
				1.346	0.176	0.562	0.671
				1.396	0.154	0.525	0.652
$\sigma v=0.6$				$\sigma v=0.5$			
J	Kt	10Kq	η_o	J	Kt	10Kq	η_o
0.792	0.181	0.468	0.488	0.793	0.176	0.458	0.485
0.843	0.182	0.470	0.519	0.842	0.178	0.461	0.517
0.893	0.185	0.478	0.550	0.892	0.177	0.463	0.543
0.943	0.188	0.488	0.578	0.943	0.177	0.466	0.570
0.993	0.194	0.506	0.606	0.994	0.179	0.473	0.598
1.043	0.199	0.521	0.634	1.045	0.183	0.485	0.627
1.092	0.204	0.537	0.660	1.093	0.188	0.501	0.653
1.144	0.207	0.548	0.687	1.144	0.191	0.510	0.682
1.194	0.193	0.535	0.686	1.194	0.187	0.517	0.688
1.246	0.176	0.510	0.684	1.245	0.169	0.491	0.682
1.295	0.168	0.497	0.697	1.296	0.156	0.470	0.684
1.347	0.162	0.498	0.697	1.346	0.148	0.465	0.682
1.397	0.147	0.468	0.698	1.396	0.143	0.459	0.692
$\sigma v=0.4$							
J	Kt	10Kq	η_o				
0.843	0.174	0.452	0.516				
0.893	0.173	0.453	0.543				
0.945	0.172	0.452	0.572				
0.994	0.170	0.448	0.600				
1.044	0.168	0.446	0.626				
1.093	0.168	0.450	0.650				
1.145	0.173	0.464	0.679				
1.195	0.174	0.472	0.701				
1.245	0.156	0.452	0.684				
1.296	0.143	0.432	0.683				
1.345	0.136	0.423	0.688				
1.396	0.135	0.432	0.694				

Table 4.16 Measured Data of Propeller Open Characteristics of SRIJ-I Propeller by Using J26 in Cavitation Tunnel

MP No. 354; SRIJ-I Prop. by J26
 n=40 rps, Tw=21°C
 $\alpha / \alpha_s = 0.28$

NON-CAV.				$\sigma_v = 1.0$			
J	Kt	10Kq	η_o	J	Kt	10Kq	η_o
0.940	0.344	0.890	0.578	0.691	0.202	0.520	0.427
0.989	0.324	0.849	0.601	0.790	0.236	0.597	0.497
1.040	0.303	0.808	0.621	0.840	0.247	0.623	0.530
1.091	0.283	0.765	0.642	0.890	0.258	0.648	0.564
1.141	0.265	0.728	0.661	0.941	0.264	0.665	0.595
1.193	0.248	0.695	0.678	0.991	0.267	0.675	0.624
1.243	0.232	0.662	0.693	1.042	0.260	0.669	0.645
1.294	0.217	0.630	0.709	1.092	0.236	0.633	0.648
1.343	0.201	0.597	0.720	1.143	0.218	0.604	0.657
1.395	0.185	0.562	0.731	1.194	0.202	0.579	0.663
1.446	0.170	0.531	0.737	1.244	0.193	0.569	0.672
1.496	0.154	0.498	0.736	1.294	0.201	0.595	0.696
1.597	0.115	0.415	0.704	1.294	0.206	0.608	0.698
				1.344	0.188	0.572	0.703
				1.396	0.176	0.545	0.717
				1.446	0.165	0.521	0.729
				1.496	0.150	0.490	0.729
				1.597	0.105	0.394	0.677
$\sigma_v = 0.6$				$\sigma_v = 0.5$			
J	Kt	10Kq	η_o	J	Kt	10Kq	η_o
0.693	0.174	0.453	0.424	0.741	0.174	0.451	0.455
0.743	0.179	0.467	0.453	0.792	0.178	0.462	0.486
0.792	0.183	0.478	0.483	0.842	0.179	0.468	0.513
0.842	0.186	0.488	0.511	0.892	0.180	0.473	0.540
0.892	0.194	0.508	0.542	0.943	0.182	0.479	0.570
0.943	0.201	0.525	0.575	0.994	0.190	0.497	0.605
0.993	0.212	0.550	0.609	1.044	0.198	0.515	0.639
1.042	0.219	0.563	0.645	1.093	0.205	0.529	0.674
1.092	0.221	0.569	0.675	1.144	0.200	0.523	0.696
1.143	0.205	0.547	0.682	1.194	0.173	0.481	0.683
1.195	0.179	0.503	0.677	1.246	0.154	0.449	0.680
1.245	0.162	0.477	0.673	1.296	0.152	0.454	0.691
1.295	0.157	0.471	0.687	1.346	0.145	0.449	0.692
1.346	0.164	0.502	0.700	1.396	0.134	0.428	0.696
1.395	0.161	0.501	0.713	1.446	0.118	0.401	0.677
1.447	0.147	0.474	0.714	1.497	0.101	0.378	0.637
1.497	0.130	0.445	0.696	1.599	0.025	0.239	0.266
1.598	0.062	0.315	0.501				
$\sigma_v = 0.4$							
J	Kt	10Kq	η_o				
0.742	0.170	0.436	0.460				
0.792	0.173	0.446	0.489				
0.843	0.175	0.451	0.521				
0.892	0.174	0.452	0.547				
0.943	0.173	0.453	0.573				
0.994	0.173	0.453	0.604				
1.044	0.176	0.461	0.634				
1.094	0.183	0.474	0.672				
1.144	0.187	0.485	0.702				
1.195	0.172	0.465	0.703				
1.245	0.148	0.427	0.687				
1.296	0.148	0.437	0.699				
1.345	0.147	0.440	0.715				
1.397	0.142	0.436	0.724				
1.447	0.123	0.410	0.691				
1.497	0.093	0.360	0.615				
1.600	0.009	0.189	0.121				

Table 4.17 Measured Data of Propeller Open Characteristics of SRIJ-II Propeller by Using J26 in Cavitation Tunnel

MPN No. 356; SRIJ-II Prop. by J26
 $T_w = 21^\circ C$
 $\alpha / \alpha_s = 0.30$

NON-CAV.			$n=40\text{ rps}$			$\sigma v=1.0$			$n=40\text{ rps}$		
J_v	K_t		10Kq	η	\circ	J_v	K_t		10Kq	η	\circ
0.888	0.338		0.834	0.573		0.691	0.186		0.459	0.446	
0.991	0.290		0.740	0.618		0.742	0.202		0.496	0.481	
1.042	0.267		0.691	0.641		0.791	0.219		0.534	0.516	
1.092	0.245		0.648	0.657		0.841	0.229		0.558	0.549	
1.125	0.231		0.613	0.675		0.892	0.236		0.576	0.582	
1.143	0.224		0.592	0.688		0.942	0.242		0.594	0.611	
1.193	0.205		0.552	0.705		0.992	0.244		0.602	0.640	
1.245	0.189		0.517	0.724		1.042	0.241		0.599	0.667	
1.295	0.172		0.482	0.735		1.092	0.235		0.592	0.690	
1.397	0.131		0.396	0.736		1.143	0.217		0.559	0.706	
1.497	0.092		0.320	0.685		1.194	0.200		0.531	0.716	
1.498	0.094		0.316	0.709		1.245	0.187		0.506	0.732	
						1.295	0.171		0.473	0.745	
						1.346	0.153		0.438	0.748	
						1.397	0.136		0.401	0.754	
						1.447	0.118		0.364	0.747	
						1.497	0.099		0.324	0.728	
						1.548	0.077		0.281	0.675	
						1.599	0.047		0.222	0.539	
$\sigma v=0.6$			$n=40\text{ rps}$			$\sigma v=0.5$			$n=40\text{ rps}$		
J_v	K_t		10Kq	η	\circ	J_v	K_t		10Kq	η	\circ
0.693	0.154		0.377	0.451		0.743	0.154		0.375	0.486	
0.743	0.158		0.387	0.483		0.793	0.156		0.383	0.514	
0.793	0.162		0.398	0.514		0.843	0.157		0.385	0.547	
0.843	0.165		0.405	0.547		0.894	0.159		0.392	0.577	
0.893	0.173		0.424	0.580		0.944	0.164		0.404	0.610	
0.943	0.183		0.449	0.612		0.994	0.172		0.422	0.645	
0.993	0.194		0.474	0.647		1.044	0.180		0.440	0.680	
1.043	0.197		0.484	0.676		1.094	0.183		0.450	0.708	
1.093	0.199		0.489	0.708		1.144	0.181		0.448	0.736	
1.143	0.195		0.484	0.733		1.194	0.176		0.444	0.753	
1.194	0.185		0.478	0.735		1.245	0.169		0.446	0.751	
1.245	0.175		0.498	0.696		1.296	0.157		0.428	0.757	
1.295	0.165		0.453	0.751		1.346	0.142		0.401	0.759	
1.346	0.150		0.423	0.760		1.397	0.127		0.371	0.761	
1.397	0.133		0.388	0.762		1.447	0.111		0.339	0.754	
1.446	0.116		0.354	0.754		1.497	0.090		0.298	0.720	
1.498	0.094		0.310	0.723		1.549	0.055		0.225	0.603	
1.549	0.069		0.262	0.649							
1.600	0.034		0.195	0.444							
$\sigma v=0.4$			$n=40\text{ rps}$			$\sigma v=0.4$			$n=45\text{ rps}$		
J_v	K_t		10Kq	η	\circ	J_v	K_t		10Kq	η	\circ
0.793	0.153		0.379	0.510		0.793	0.154		0.373	0.521	
0.844	0.152		0.379	0.539		0.844	0.153		0.375	0.548	
0.894	0.152		0.379	0.571		0.894	0.151		0.373	0.576	
0.945	0.150		0.377	0.598		0.944	0.150		0.372	0.606	
0.995	0.151		0.381	0.628		0.994	0.152		0.375	0.641	
1.044	0.159		0.397	0.665		1.045	0.158		0.387	0.679	
1.095	0.165		0.410	0.701		1.094	0.162		0.396	0.712	
1.144	0.166		0.414	0.730		1.138	0.168		0.410	0.742	
1.195	0.165		0.420	0.747		1.195	0.166		0.410	0.770	
1.245	0.162		0.429	0.748		1.245	0.160		0.414	0.766	
1.295	0.159		0.437	0.750		1.295	0.154		0.407	0.780	
1.346	0.145		0.407	0.763		1.346	0.143		0.389	0.788	
1.397	0.129		0.373	0.769		1.397	0.126		0.354	0.791	
1.448	0.112		0.339	0.761		1.447	0.107		0.318	0.775	
1.497	0.078		0.271	0.686		1.498	0.080		0.269	0.709	
						1.549	0.044		0.188	0.577	

Table 4.18 Measured Data of Propeller Open Characteristics of SRIJ-II Propeller by Using H38 in Cavitation Tunnel

MPNo. 356: SRIJ-II Prop. by H38
 $n=40 \text{ rps}$, $T_w=19^\circ\text{C}$
 $\alpha / \alpha_s = 0.29$

NON-CAV.				$\sigma v=1.0$			
J	Kt	10Kq	η o	J	Kt	10Kq	η o
0.887	0.342	0.821	0.588	0.692	0.188	0.457	0.453
0.939	0.319	0.776	0.614	0.742	0.205	0.499	0.485
0.990	0.295	0.730	0.637	0.791	0.220	0.536	0.517
1.041	0.271	0.682	0.658	0.841	0.230	0.532	0.579
1.091	0.248	0.636	0.677	0.891	0.239	0.578	0.586
1.143	0.224	0.592	0.688	0.941	0.244	0.591	0.618
1.194	0.205	0.554	0.703	0.992	0.245	0.597	0.648
1.245	0.187	0.517	0.717	1.042	0.243	0.598	0.674
1.294	0.167	0.477	0.721	1.092	0.233	0.585	0.692
1.346	0.147	0.433	0.727	1.144	0.213	0.551	0.704
1.398	0.127	0.395	0.715	1.194	0.200	0.538	0.706
1.447	0.108	0.354	0.703	1.245	0.184	0.503	0.725
1.498	0.085	0.306	0.662	1.295	0.165	0.466	0.730
				1.346	0.144	0.425	0.726
				1.398	0.127	0.387	0.730
				1.447	0.106	0.343	0.712
				1.498	0.085	0.300	0.676
				1.548	0.060	0.248	0.596
				1.599	0.023	0.172	0.340
$\sigma v=0.6$				$\sigma v=0.5$			
J	Kt	10Kq	η o	J	Kt	10Kq	η o
0.693	0.162	0.386	0.463	0.743	0.161	0.386	0.493
0.742	0.167	0.398	0.496	0.792	0.164	0.393	0.526
0.793	0.170	0.407	0.527	0.843	0.165	0.396	0.559
0.842	0.174	0.419	0.557	0.893	0.168	0.403	0.592
0.892	0.181	0.437	0.588	0.943	0.171	0.414	0.620
0.943	0.189	0.459	0.618	0.994	0.177	0.430	0.651
0.994	0.197	0.476	0.655	1.044	0.182	0.443	0.683
1.043	0.200	0.487	0.682	1.094	0.183	0.449	0.710
1.093	0.197	0.482	0.711	1.144	0.180	0.448	0.732
1.144	0.192	0.477	0.733	1.195	0.175	0.459	0.725
1.194	0.181	0.471	0.730	1.245	0.173	0.478	0.738
1.245	0.176	0.470	0.742	1.295	0.159	0.443	0.740
1.295	0.161	0.443	0.749	1.346	0.139	0.404	0.737
1.346	0.142	0.403	0.755	1.397	0.119	0.361	0.733
1.397	0.123	0.364	0.751	1.447	0.093	0.305	0.702
1.448	0.103	0.320	0.742	1.498	0.062	0.245	0.603
1.498	0.072	0.256	0.671	1.549	0.027	0.171	0.389
1.549	0.041	0.196	0.516	1.600	-0.037	0.029	-3.249
1.600	-0.004	0.102	-0.100				
$\sigma v=0.4$							
J	Kt	10Kq	η o				
0.794	0.159	0.383	0.525				
0.843	0.160	0.385	0.558				
0.894	0.159	0.387	0.585				
0.944	0.158	0.390	0.609				
0.994	0.159	0.395	0.637				
1.044	0.161	0.398	0.672				
1.095	0.164	0.407	0.702				
1.144	0.165	0.415	0.724				
1.195	0.160	0.418	0.728				
1.245	0.156	0.423	0.731				
1.296	0.148	0.415	0.736				
1.346	0.129	0.374	0.739				
1.397	0.105	0.324	0.721				
1.448	0.078	0.274	0.656				
1.499	0.045	0.205	0.524				
1.550	-0.029	0.027	-2.650				

Table 4.19 Measured Data of Propeller Open Characteristics of SRIJ-A Propeller by Using J26 in Cavitation Tunnel

MPNo. 365; SRIJ-A Prop. by J26

 $T_w = 23.5^\circ C$ $\alpha / \alpha_s = 0.27$

NON-CAV.		n=35 rps		σ v=1.0		n=45 rps	
J	Kt	10Kq	η o	J	Kt	10Kq	η o
0.786	0.403	1.001	0.504	0.789	0.281	0.690	0.511
0.837	0.378	0.954	0.528	0.839	0.293	0.719	0.544
0.888	0.355	0.909	0.552	0.890	0.299	0.735	0.576
0.939	0.333	0.866	0.575	0.940	0.302	0.749	0.603
0.990	0.312	0.826	0.595	0.990	0.297	0.744	0.629
1.040	0.292	0.786	0.615	1.041	0.279	0.720	0.642
1.092	0.272	0.750	0.630	1.092	0.262	0.698	0.652
1.143	0.252	0.713	0.643	1.143	0.246	0.680	0.658
1.193	0.233	0.675	0.655	1.194	0.236	0.670	0.669
1.244	0.217	0.641	0.670	1.244	0.218	0.635	0.680
1.294	0.199	0.606	0.676	1.294	0.202	0.605	0.688
1.345	0.183	0.575	0.681	1.345	0.185	0.573	0.691
1.395	0.168	0.540	0.691	1.395	0.165	0.536	0.683
1.446	0.143	0.493	0.668				
$\sigma v=0.5$		n=45 rps		$\sigma v=0.4$		n=45 rps	
J	Kt	10Kq	η o	J	Kt	10Kq	η o
0.791	0.201	0.494	0.512	0.792	0.192	0.471	0.514
0.842	0.206	0.508	0.543	0.842	0.196	0.483	0.544
0.892	0.209	0.520	0.571	0.893	0.199	0.494	0.573
0.942	0.216	0.538	0.602	0.943	0.200	0.497	0.604
0.992	0.226	0.566	0.630	0.993	0.202	0.506	0.631
1.042	0.234	0.584	0.664	1.043	0.209	0.525	0.661
1.093	0.235	0.593	0.689	1.093	0.214	0.539	0.691
1.144	0.221	0.578	0.696	1.143	0.212	0.544	0.709
1.194	0.208	0.568	0.696	1.194	0.197	0.535	0.700
1.244	0.206	0.580	0.703	1.244	0.195	0.544	0.710
1.295	0.194	0.564	0.709	1.294	0.183	0.523	0.721
1.345	0.181	0.545	0.711	1.345	0.175	0.518	0.723
1.396	0.165	0.515	0.712	1.396	0.159	0.491	0.719
$\sigma v=0.3$		n=45 rps					
J	Kt	10Kq	η o				
0.842	0.190	0.463	0.550				
0.892	0.191	0.470	0.577				
0.943	0.191	0.471	0.609				
0.993	0.190	0.472	0.636				
1.043	0.188	0.470	0.664				
1.094	0.187	0.474	0.687				
1.094	0.187	0.472	0.690				
1.144	0.188	0.482	0.710				
1.195	0.178	0.486	0.697				
1.245	0.178	0.491	0.718				
1.295	0.172	0.486	0.729				
1.346	0.161	0.473	0.729				
1.396	0.141	0.442	0.709				

Table 4.20 Measured Data of Propeller Open Characteristics of SRIJ-III Propeller by Using J26 in Cavitation Tunnel

MPNo. 366; SRIJ-III Prop. by J26
 $n=40\text{ rps}$, $T_w=25.26^\circ\text{C}$
 $\alpha / \alpha_s = 0.28, 30$

NON-CAV.				$\sigma v=1.0$			
J_v	K_t	$10Kq$	η_o	J_v	K_t	$10Kq$	η_o
0.839	0.317	0.740	0.572	0.694	0.170	0.407	0.461
0.889	0.298	0.704	0.599	0.743	0.183	0.435	0.497
0.940	0.279	0.668	0.625	0.793	0.194	0.458	0.535
0.991	0.261	0.634	0.649	0.842	0.201	0.471	0.572
1.042	0.243	0.599	0.673	0.892	0.206	0.485	0.603
1.093	0.226	0.565	0.696	0.942	0.210	0.493	0.639
1.144	0.209	0.533	0.714	0.993	0.210	0.498	0.666
1.194	0.194	0.504	0.731	1.043	0.207	0.496	0.693
1.245	0.178	0.472	0.747	1.093	0.199	0.483	0.717
1.295	0.161	0.438	0.758	1.144	0.180	0.455	0.720
1.346	0.142	0.402	0.757	1.194	0.179	0.461	0.738
1.397	0.124	0.366	0.753	1.246	0.164	0.431	0.755
1.447	0.105	0.326	0.742	1.296	0.148	0.401	0.761
1.498	0.082	0.286	0.684	1.347	0.129	0.364	0.760
1.548	0.054	0.233	0.571	1.397	0.111	0.332	0.743
1.600	0.013	0.160	0.207	1.447	0.090	0.291	0.712
				1.498	0.067	0.250	0.639
				1.549	0.041	0.206	0.491
				1.601	0.013	0.156	0.212
$\sigma v=0.6$				$\sigma v=0.5$			
J_v	K_t	$10Kq$	η_o	J_v	K_t	$10Kq$	η_o
0.694	0.145	0.344	0.466	0.743	0.146	0.346	0.499
0.744	0.148	0.351	0.499	0.794	0.145	0.347	0.528
0.794	0.148	0.354	0.528	0.844	0.145	0.347	0.561
0.844	0.153	0.366	0.562	0.894	0.146	0.350	0.594
0.893	0.160	0.380	0.598	0.944	0.151	0.362	0.627
0.944	0.166	0.395	0.631	0.994	0.159	0.379	0.664
0.994	0.174	0.409	0.673	1.045	0.163	0.385	0.704
1.044	0.176	0.413	0.708	1.094	0.163	0.387	0.733
1.094	0.173	0.410	0.735	1.144	0.159	0.385	0.752
1.144	0.165	0.402	0.747	1.196	0.151	0.376	0.764
1.195	0.154	0.391	0.749	1.245	0.139	0.358	0.769
1.246	0.147	0.379	0.769	1.297	0.125	0.331	0.780
1.296	0.131	0.350	0.772	1.347	0.107	0.302	0.760
1.348	0.116	0.325	0.766	1.399	0.082	0.256	0.713
1.398	0.090	0.280	0.715	1.449	0.047	0.185	0.586
1.448	0.063	0.232	0.626	1.500	-0.002	0.082	-0.058
1.499	0.030	0.165	0.434				
1.551	-0.020	0.062	-0.796				
$\sigma v=0.4$							
J_v	K_t	$10Kq$	η_o				
0.794	0.142	0.333	0.539				
0.844	0.142	0.333	0.573				
0.894	0.140	0.331	0.602				
0.945	0.138	0.329	0.631				
0.995	0.139	0.332	0.663				
1.045	0.145	0.343	0.703				
1.095	0.149	0.352	0.738				
1.146	0.149	0.357	0.761				
1.196	0.148	0.365	0.772				
1.246	0.136	0.344	0.784				
1.296	0.120	0.316	0.783				
1.348	0.099	0.277	0.767				
1.398	0.065	0.213	0.679				
1.449	0.027	0.126	0.494				
1.500	-0.010	0.054	-0.442				

Table 4.21 Measured Data of Propeller Open Characteristics of SRIJ-IV Propeller by Using J26 in Cavitation Tunnel

MPNo. 369; SRIJ-IV Prop. by J26
 n=40 rps, Tw=9°C
 $\alpha / \alpha_s = 0.33$

NON-CAV.				$\sigma_v = 1.0$			
J	Kt	10Kq	η_o	J	Kt	10Kq	η_o
0.890	0.309	0.761	0.575	0.692	0.205	0.504	0.448
0.942	0.283	0.713	0.595	0.742	0.229	0.560	0.483
0.992	0.260	0.671	0.612	0.790	0.240	0.586	0.515
1.041	0.241	0.638	0.626	0.840	0.250	0.611	0.547
1.092	0.221	0.602	0.638	0.890	0.256	0.623	0.582
1.145	0.203	0.565	0.655	0.941	0.256	0.626	0.612
1.193	0.185	0.525	0.669	0.992	0.251	0.618	0.641
1.244	0.166	0.491	0.669	1.041	0.234	0.592	0.655
1.297	0.147	0.456	0.665	1.092	0.215	0.564	0.663
1.347	0.129	0.420	0.658	1.142	0.203	0.546	0.676
1.397	0.111	0.383	0.644	1.192	0.186	0.515	0.685
1.447	0.092	0.345	0.614	1.246	0.169	0.482	0.695
1.498	0.070	0.306	0.545	1.297	0.151	0.440	0.708
				1.346	0.135	0.403	0.718
				1.396	0.115	0.369	0.692
				1.448	0.094	0.328	0.660
				1.498	0.074	0.286	0.617
				1.549	0.054	0.242	0.550
$\sigma_v = 0.6$				$\sigma_v = 0.5$			
J	Kt	10Kq	η_o	J	Kt	10Kq	η_o
0.692	0.147	0.368	0.440	0.792	0.148	0.374	0.499
0.742	0.153	0.385	0.469	0.844	0.151	0.377	0.538
0.791	0.163	0.408	0.503	0.893	0.160	0.401	0.567
0.842	0.178	0.442	0.540	0.942	0.173	0.430	0.603
0.892	0.192	0.474	0.575	0.993	0.185	0.458	0.638
0.942	0.200	0.492	0.609	1.040	0.190	0.470	0.669
0.992	0.206	0.505	0.644	1.093	0.188	0.471	0.694
1.042	0.208	0.511	0.675	1.144	0.178	0.469	0.691
1.092	0.202	0.505	0.695	1.195	0.177	0.484	0.696
1.144	0.186	0.492	0.688	1.245	0.160	0.453	0.700
1.193	0.187	0.507	0.700	1.296	0.141	0.417	0.697
1.246	0.168	0.476	0.700	1.347	0.123	0.382	0.690
1.297	0.144	0.430	0.691	1.398	0.107	0.350	0.680
1.347	0.128	0.396	0.693	1.448	0.088	0.307	0.661
1.397	0.113	0.364	0.690	1.498	0.069	0.269	0.612
1.448	0.092	0.321	0.660	1.549	0.044	0.222	0.489
1.497	0.071	0.276	0.613				
1.551	0.045	0.228	0.487				
$\sigma_v = 0.4$							
J	Kt	10Kq	η_o				
0.846	0.143	0.364	0.529				
0.895	0.143	0.365	0.558				
0.943	0.145	0.369	0.590				
0.994	0.155	0.391	0.627				
1.042	0.163	0.409	0.661				
1.094	0.168	0.424	0.690				
1.144	0.168	0.439	0.697				
1.195	0.166	0.453	0.697				
1.245	0.152	0.429	0.702				
1.295	0.136	0.392	0.715				
1.346	0.126	0.375	0.720				
1.396	0.107	0.340	0.699				
1.447	0.087	0.302	0.663				
1.499	0.060	0.245	0.584				

Table 4.22 Measured Data of Propeller Open Characteristics of SRIJ-IV Propeller by Using H38 in Cavitation Tunnel

MP No. 369

Measured by H38

$T_w = 19.0^\circ\text{C}$, $\alpha / \alpha_s = 0.30, 0.33$, $n = 40 \text{ rps}$

NON-CAV.

J_v	K_t	$10K_q$	η_o
0.889	0.314	0.771	0.576
0.941	0.286	0.718	0.597
0.992	0.263	0.676	0.614
1.042	0.243	0.638	0.632
1.093	0.223	0.599	0.648
1.143	0.204	0.561	0.662
1.195	0.185	0.522	0.674
1.245	0.164	0.480	0.677
1.296	0.146	0.443	0.680
1.346	0.127	0.405	0.672
1.398	0.107	0.364	0.654
1.448	0.085	0.319	0.614
1.497	0.063	0.274	0.548

$\sigma v=1.0$

J_v	K_t	$10K_q$	η_o
0.691	0.203	0.491	0.455
0.740	0.224	0.540	0.489
0.791	0.239	0.577	0.521
0.840	0.249	0.604	0.551
0.889	0.254	0.617	0.582
0.941	0.255	0.623	0.613
0.992	0.246	0.611	0.636
1.042	0.228	0.583	0.649
1.092	0.211	0.561	0.654
1.144	0.202	0.546	0.674
1.194	0.183	0.508	0.685
1.246	0.163	0.469	0.689
1.296	0.144	0.432	0.688
1.346	0.127	0.395	0.689
1.397	0.107	0.353	0.674
1.448	0.085	0.308	0.636
1.498	0.062	0.259	0.571
1.549	0.039	0.212	0.454

$\sigma v=0.6$

J_v	K_t	$10K_q$	η_o
0.743	0.155	0.376	0.487
0.793	0.163	0.396	0.520
0.843	0.175	0.424	0.554
0.893	0.187	0.453	0.587
0.942	0.197	0.476	0.620
0.993	0.203	0.495	0.648
1.043	0.204	0.501	0.676
1.093	0.195	0.497	0.683
1.143	0.195	0.525	0.676
1.195	0.177	0.495	0.680
1.245	0.155	0.448	0.686
1.296	0.137	0.416	0.679
1.347	0.121	0.379	0.684
1.397	0.100	0.331	0.672
1.448	0.079	0.286	0.637
1.499	0.054	0.236	0.546
1.549	0.029	0.185	0.386

$\sigma v=0.5$

J_v	K_t	$10K_q$	η_o
0.743	0.148	0.360	0.486
0.793	0.152	0.371	0.517
0.844	0.156	0.381	0.550
0.894	0.162	0.397	0.581
0.943	0.172	0.422	0.612
0.995	0.181	0.446	0.643
1.044	0.184	0.457	0.669
1.094	0.183	0.467	0.682
1.145	0.181	0.490	0.673
1.195	0.167	0.467	0.680
1.245	0.150	0.436	0.682
1.297	0.132	0.401	0.680
1.346	0.110	0.356	0.662
1.398	0.092	0.316	0.648
1.448	0.066	0.261	0.583
1.498	0.045	0.219	0.490
1.549	0.015	0.153	0.242

$\sigma v=0.4$

J_v	K_t	$10K_q$	η_o
0.794	0.145	0.357	0.513
0.844	0.147	0.361	0.547
0.893	0.147	0.364	0.574
0.944	0.149	0.369	0.607
0.995	0.152	0.380	0.633
1.045	0.160	0.401	0.664
1.095	0.166	0.423	0.684
1.145	0.170	0.453	0.684
1.195	0.161	0.448	0.683
1.246	0.137	0.396	0.686
1.296	0.125	0.378	0.682
1.347	0.103	0.332	0.665
1.398	0.080	0.284	0.627
1.451	0.052	0.228	0.527
1.500	0.019	0.151	0.300

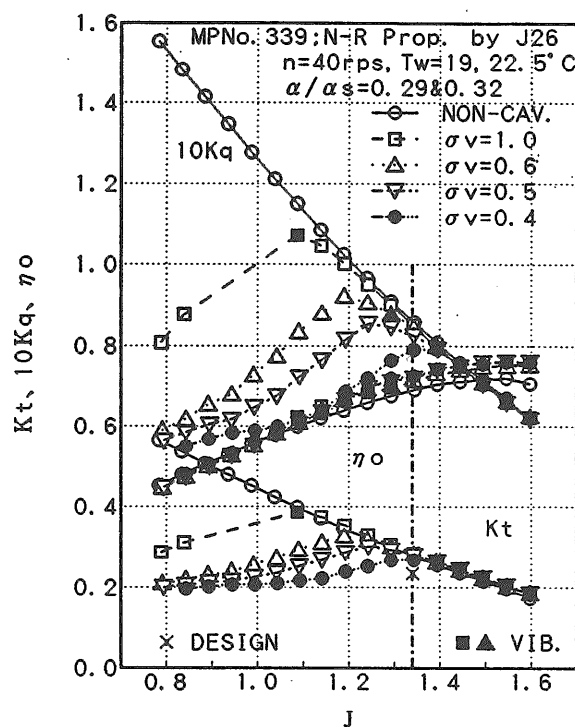


Fig. 4.9 Propeller Open Characteristics of Newton-Rader Propeller Measured by Using J26 Dynamometer

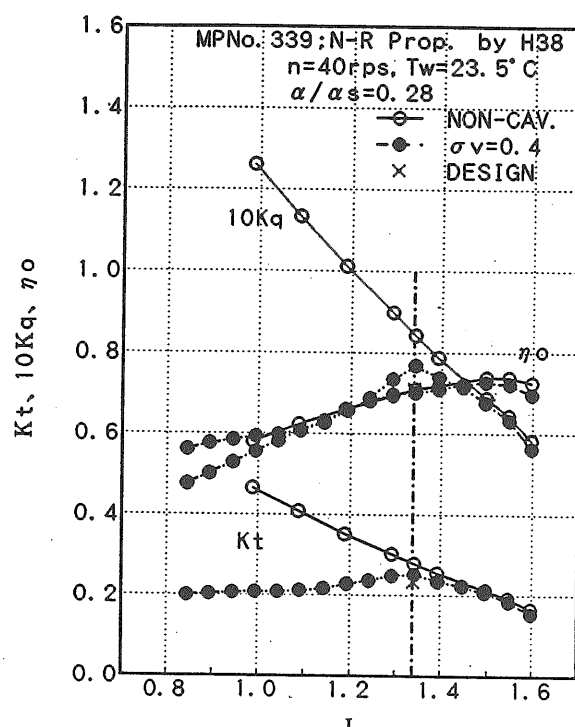


Fig. 4.11 Propeller Open Characteristics of Newton-Rader Propeller Measured by Using H38 Dynamometer

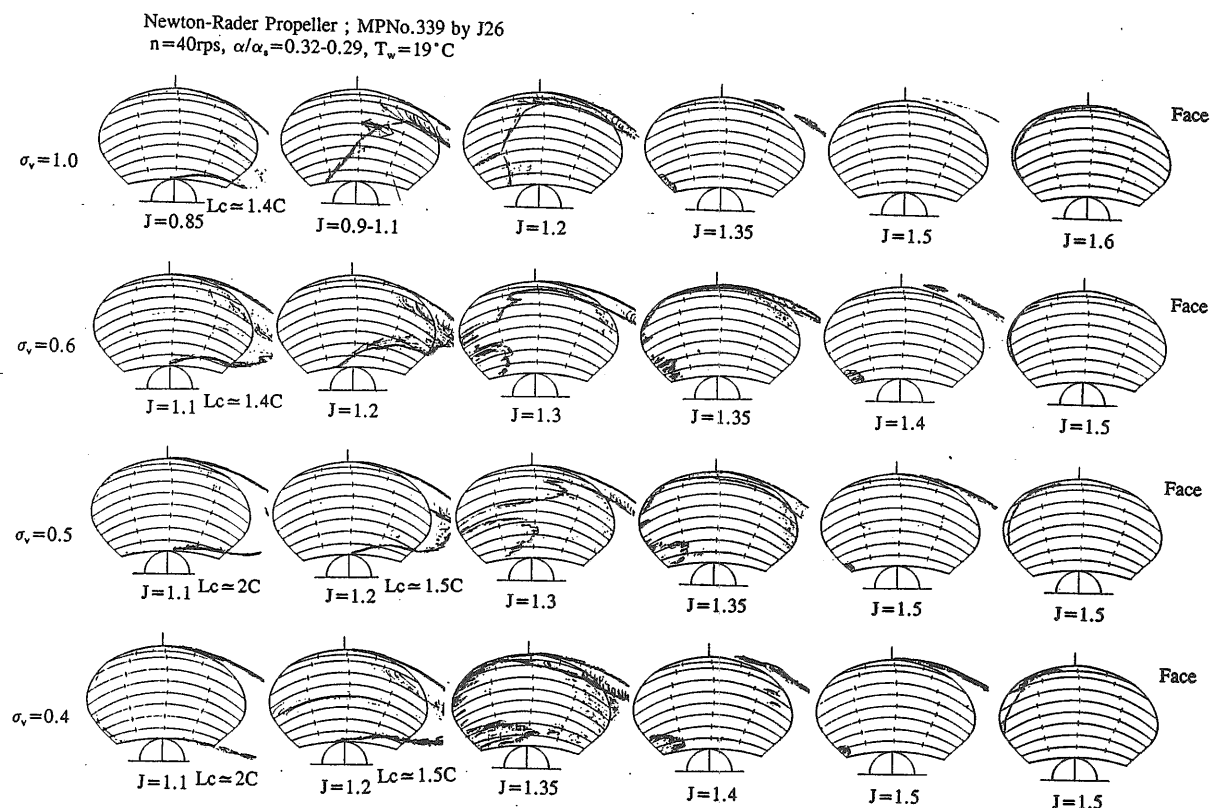


Fig. 4.10 Sketch of Cavitation Pattern on Newton-Rader Propeller Set Up to J26 Dynamometer

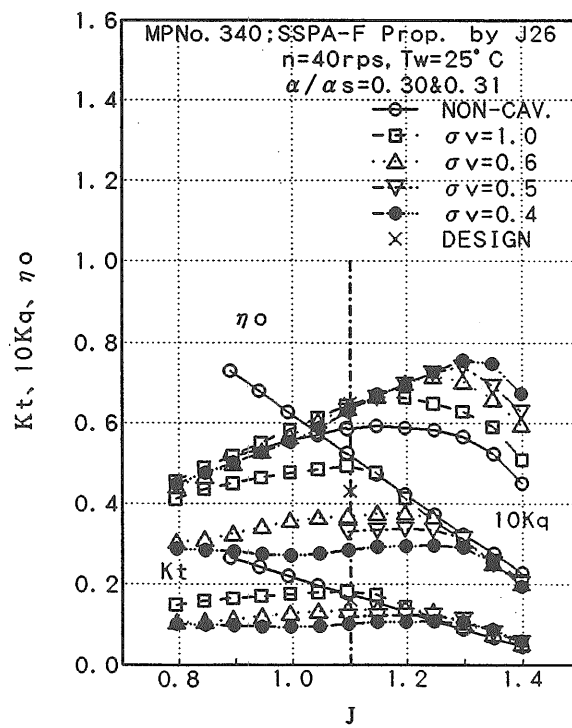


Fig. 4.12 Propeller Open Characteristics of SSPA-F Propeller
Measured by Using J26 Dynamometer

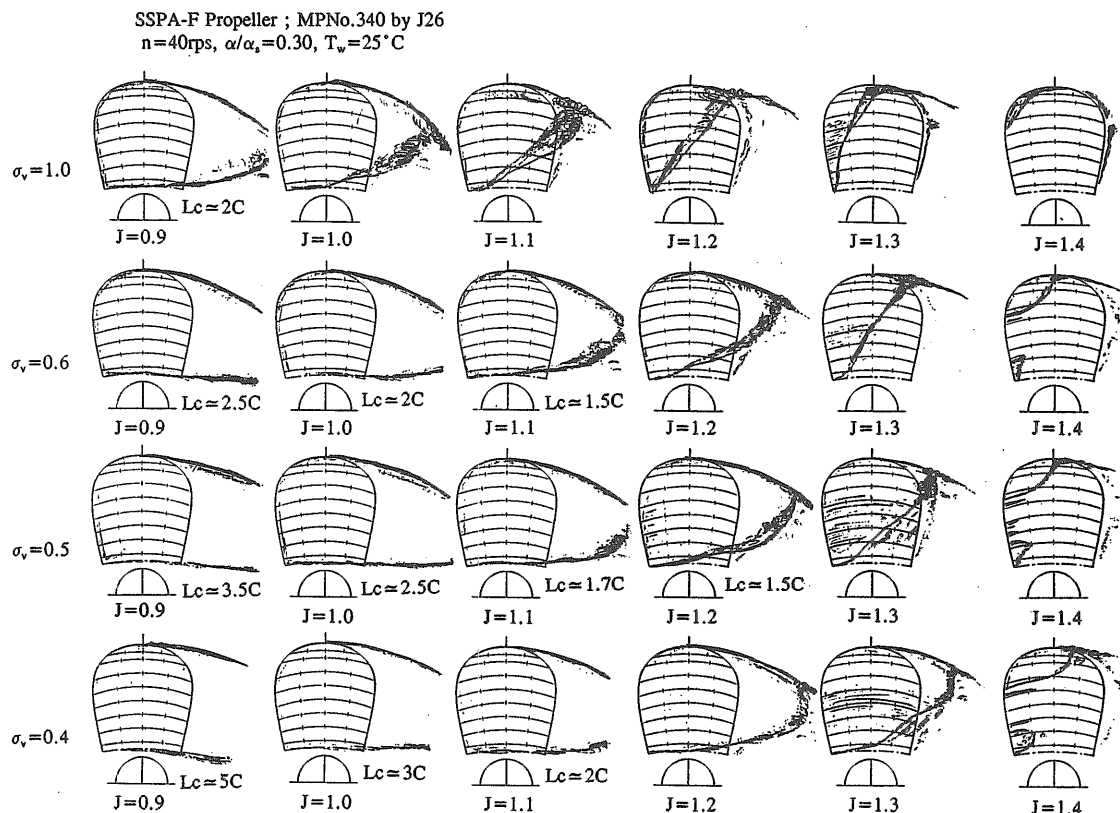


Fig. 4.13 Sketch of Cavitaion Pattern on SSPA-F Propeller Set Up to J26 Dynamometer

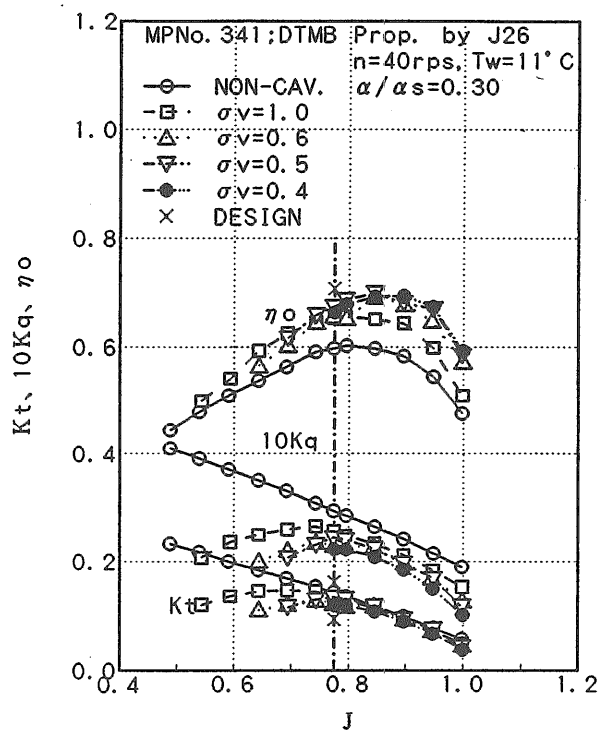


Fig. 4.14 (a) Propeller Open Characteristics of DTMB Propeller Measured by Using J26 Dynamometer

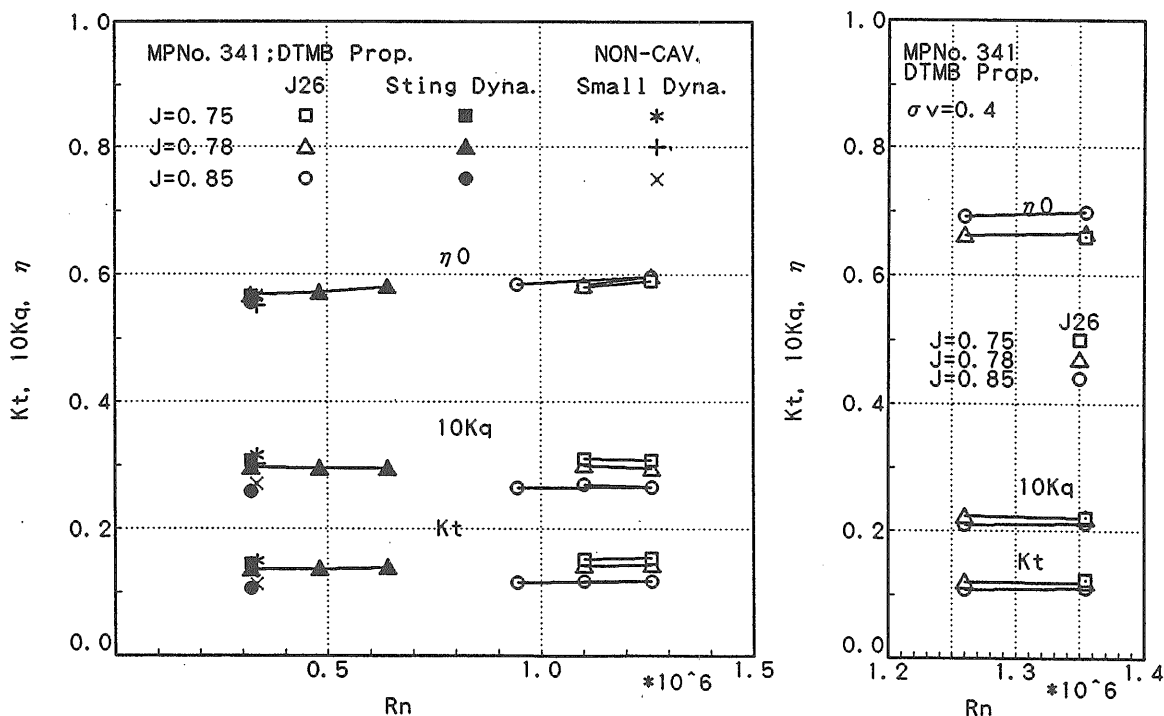


Fig. 4.14 (b) Viscous Effect on DTMB Propeller Performance Measured by Using J26 Dynamometer

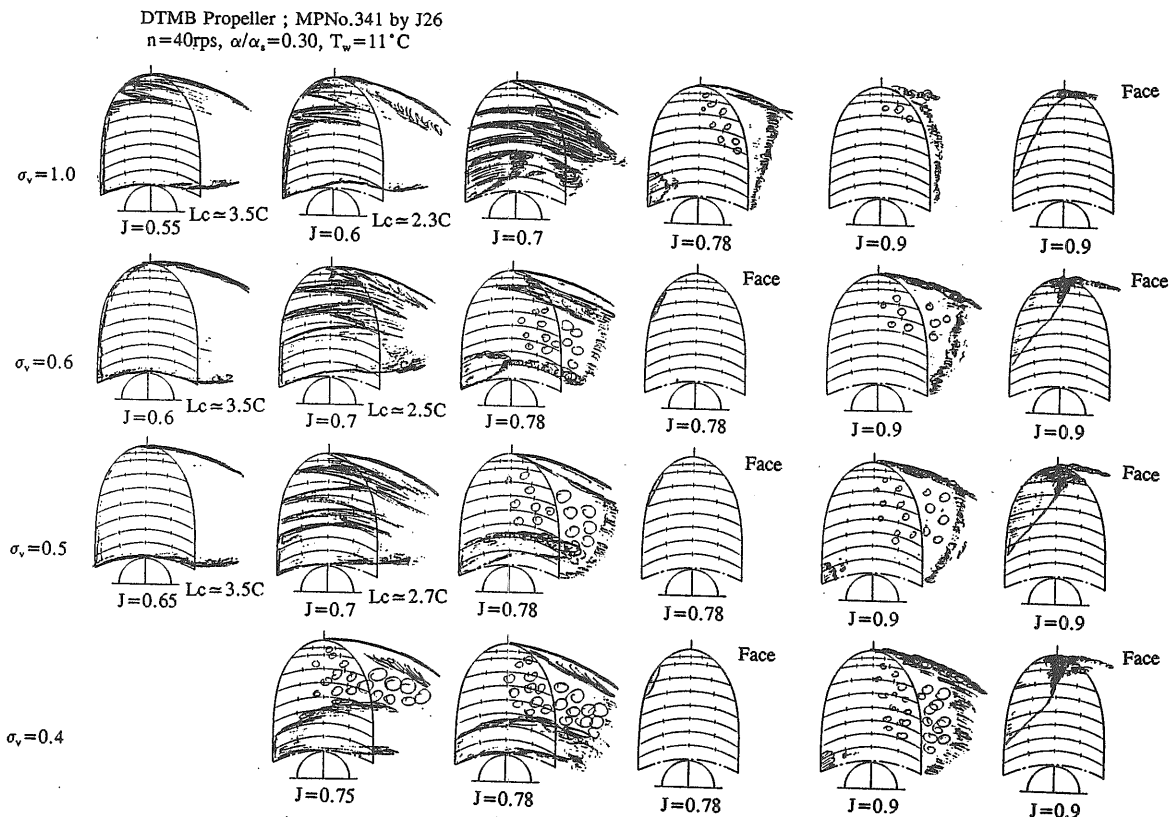


Fig. 4.15 Sketch of Cavitation Pattern on DTMB Propeller Set Up to J26 Dynamometer

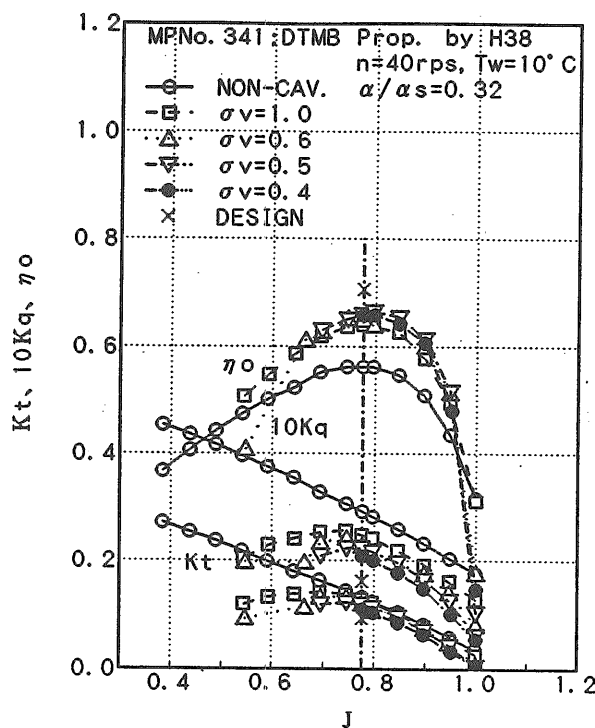


Fig. 4.16 (a) Propeller Open Characteristics of DTMB Propeller Measured by Using H38 Dynamometer

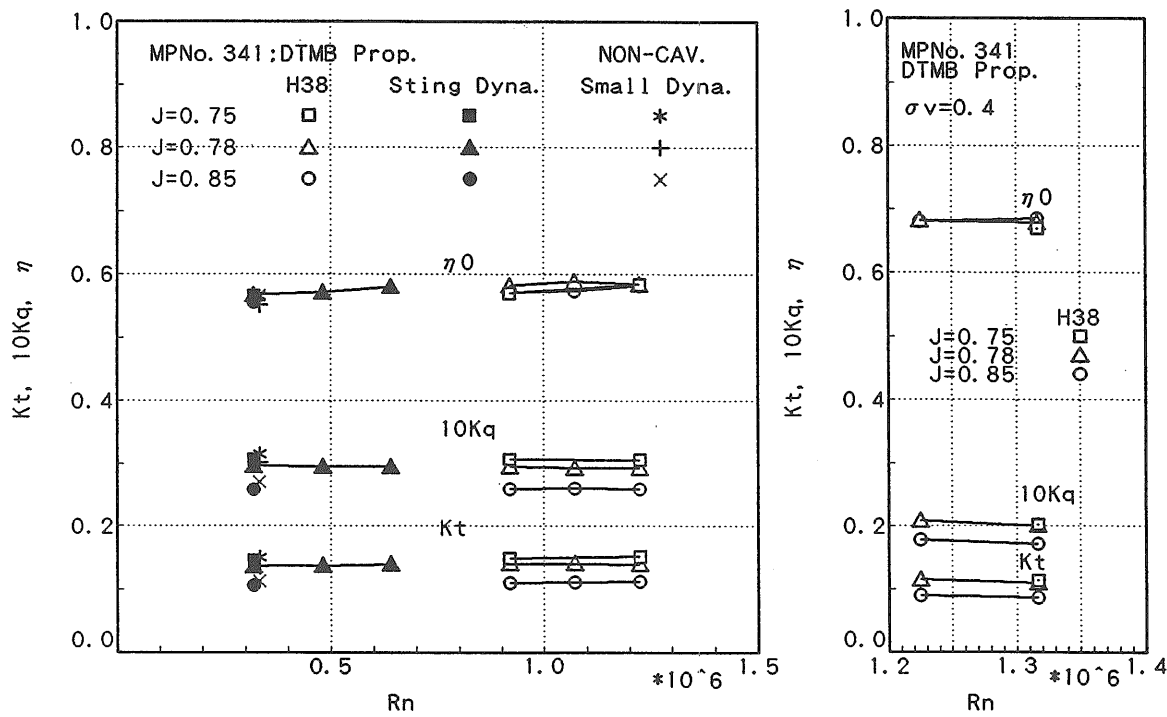


Fig. 4.16 (b) Viscous Effect on DTMB Propeller Performance Measured by Using H38 Dynamometer

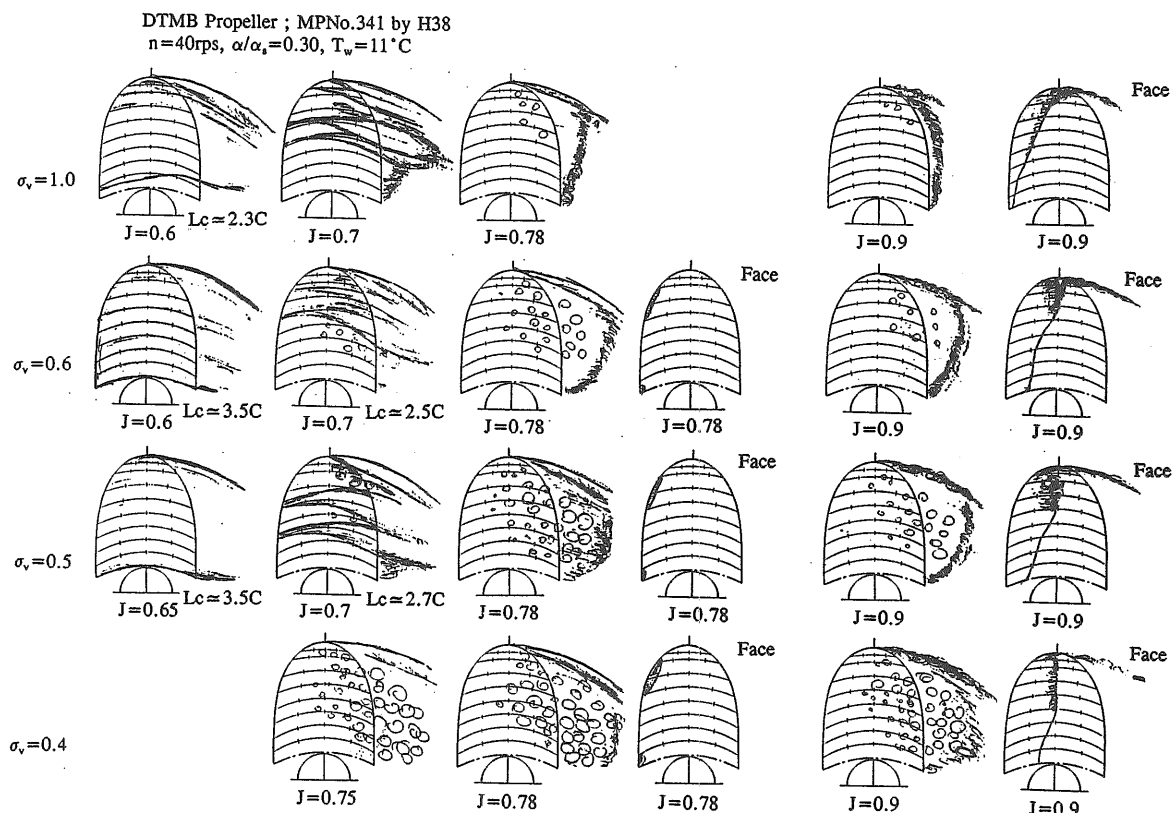


Fig. 4.17 Sketch of Cavitation Pattern on DTMB Propeller Set Up to H38 Dynamometer

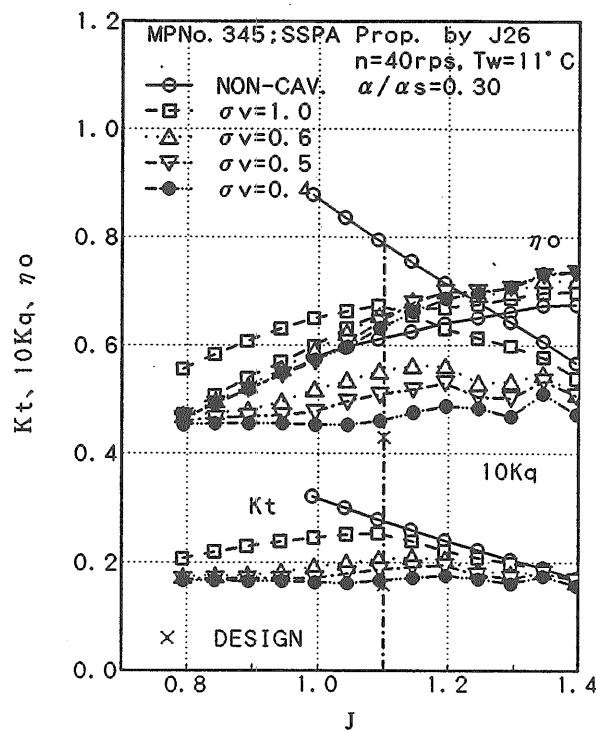


Fig. 4.18 (a) Propeller Open Characteristics of SSPA Propeller Measured by Using J26 Dynamometer

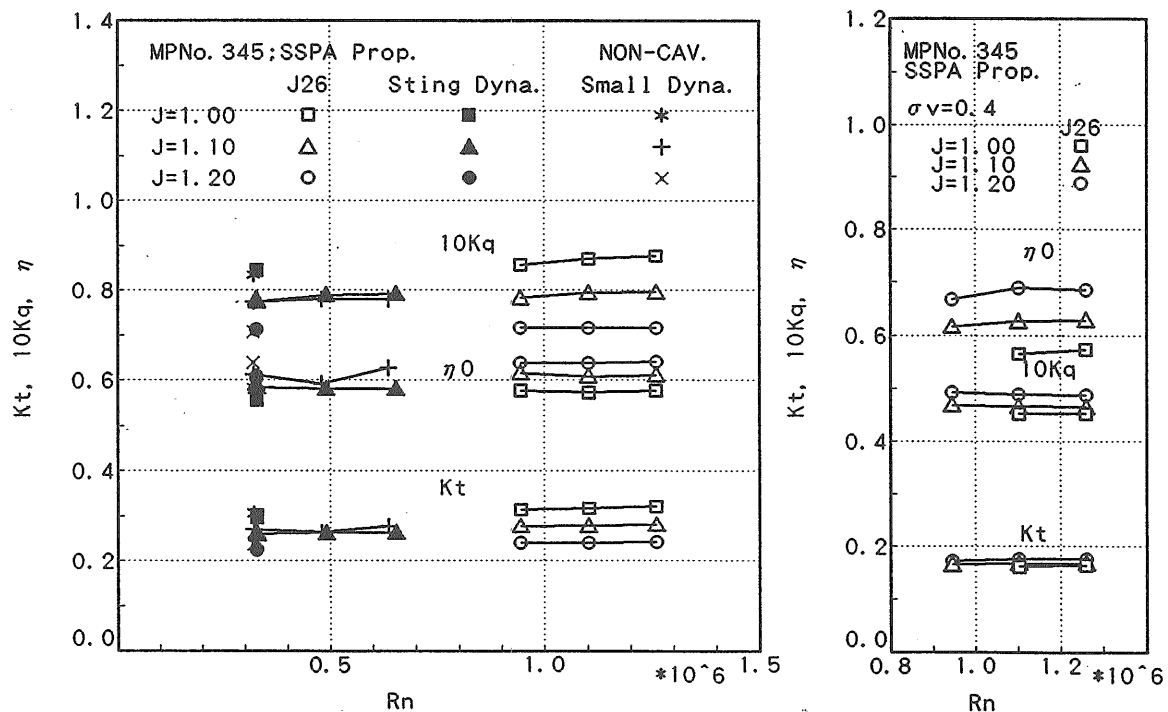


Fig. 4.18 (b) Viscous Effect on SSPA Propeller Performance Measured by Using J26 Dynamometer

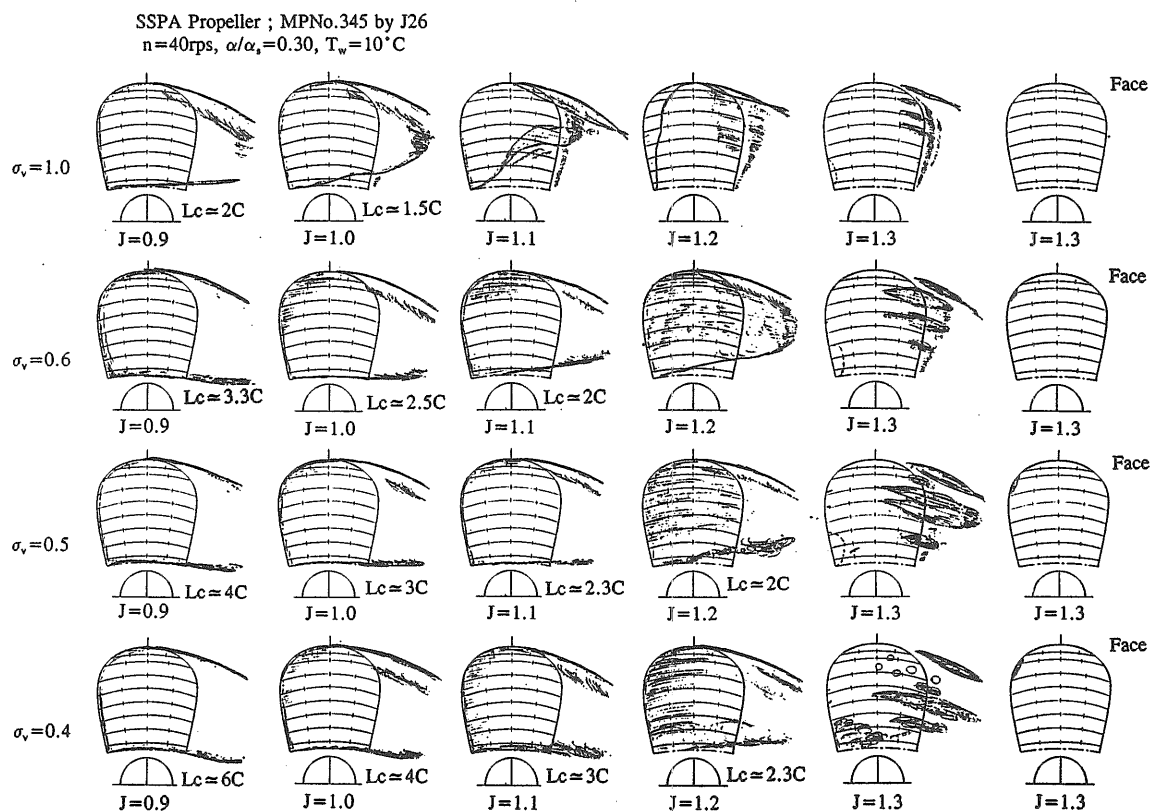


Fig. 4.19 Sketch of Cavitaion Pattern on SSPA Propeller Set Up to J26 Dynamometer

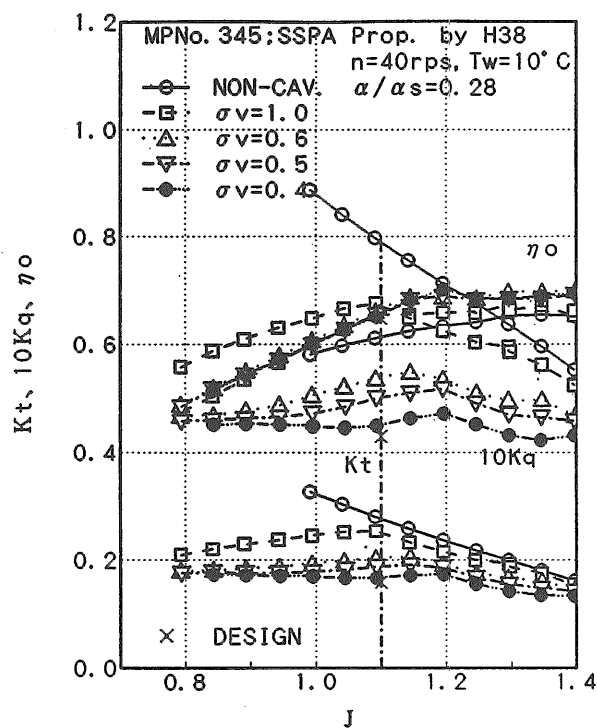


Fig. 4.20 (a) Propeller Open Characteristics of SSPA Propeller Measured by Using H38 Dynamometer

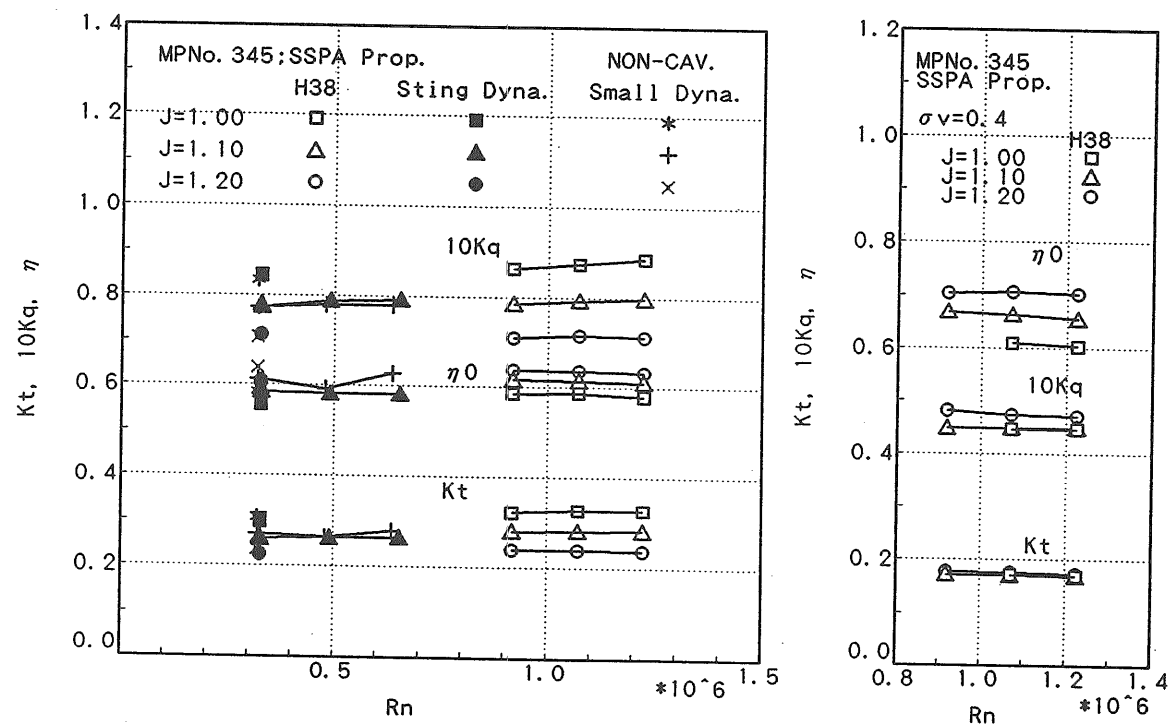


Fig. 4.20 (b) Viscous Effect on SSPA Propeller Performance Measured by Using H38 Dynamometer

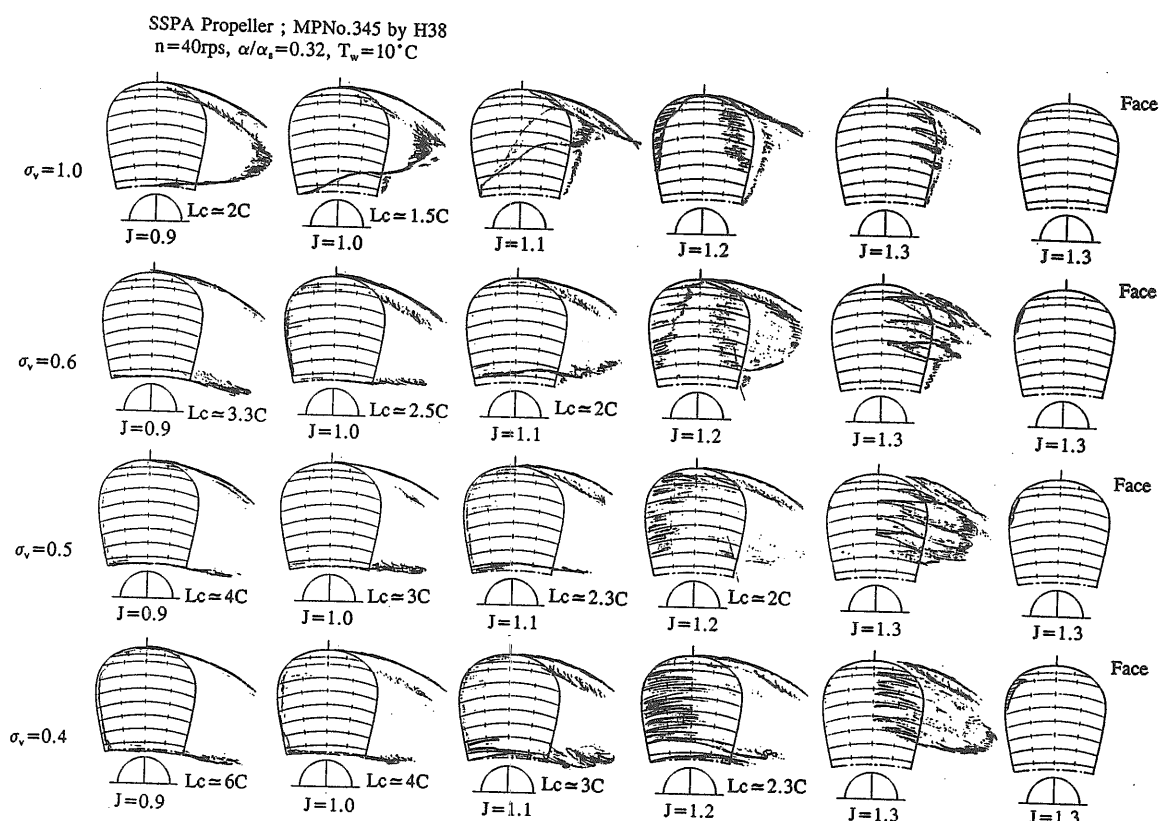


Fig. 4.21 Sketch of Cavitaion Pattern on SSPA Propeller Set Up to H38 Dynamometer

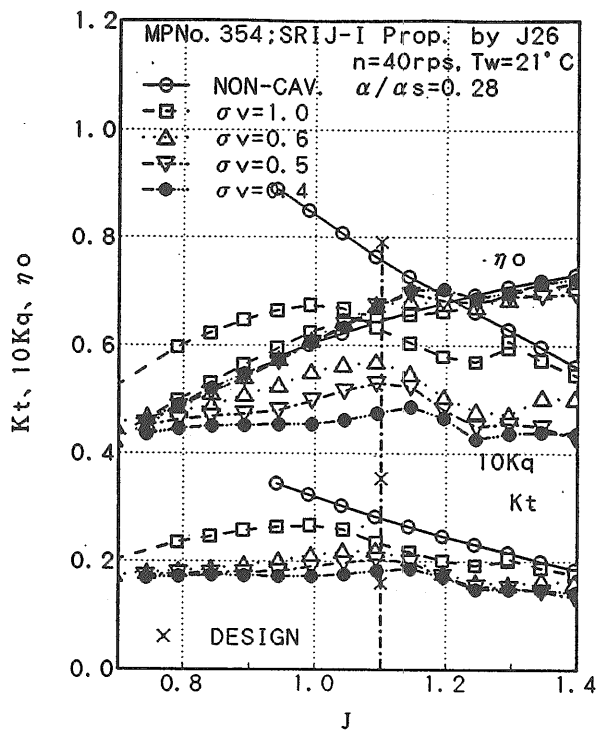


Fig. 4.22 Propeller Open Characteristics of SRIJ-I Propeller Measured by Using J26 Dynamometer

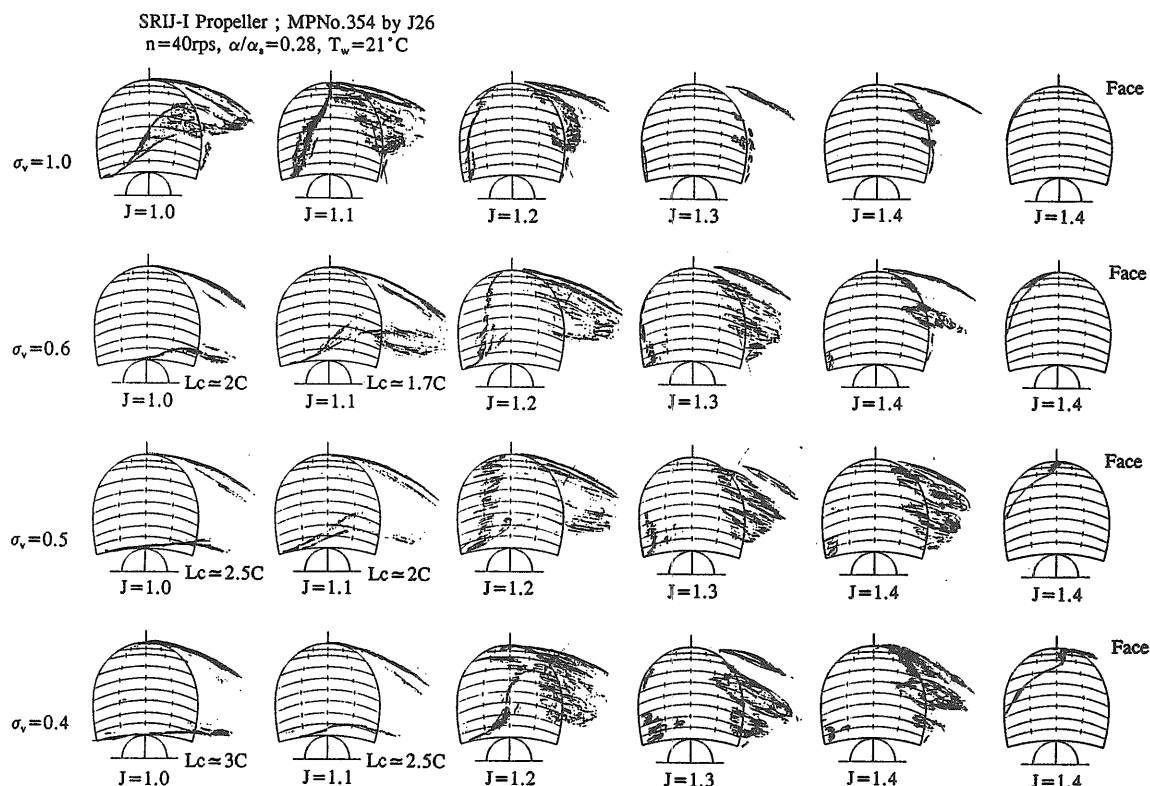


Fig. 4.23 Sketch of Cavitation Pattern on SRIJ-I Propeller Set Up to J26 Dynamometer

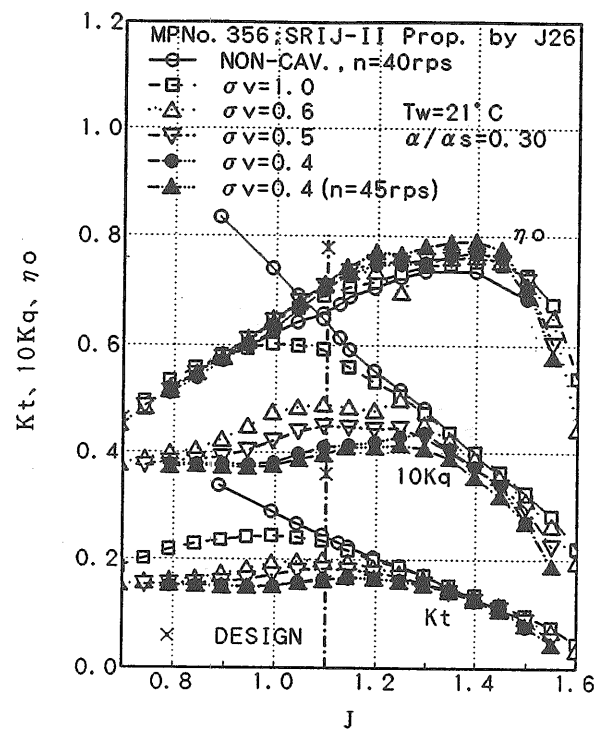


Fig. 4.24 (a) Propeller Open Characteristics of SRIJ-II Propeller Measured by Using J26 Dynamometer

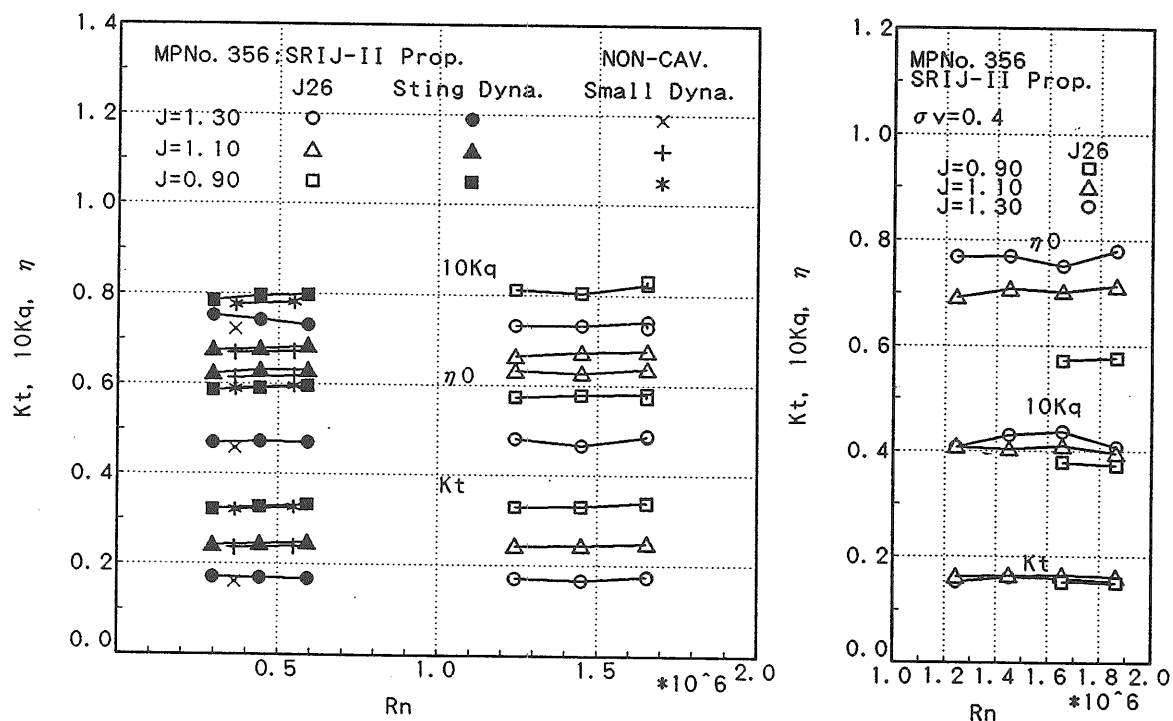


Fig. 4.24 (b) Viscous Effect on SRIJ-II Propeller Performance Measured by Using J26 Dynamometer